

Из приведенных результатов видно, что при решении задачи по явной схеме дальнейшее уменьшение  $h$  и  $\Delta t$ , выбранных согласно (7), практически не влияет на распределение температуры. Следует отметить, что утверждение о том, что явная схема дает заниженные результаты, а неявная — завышенные [3], в нелинейном случае не подтверждается.

1. Самарский А. А. Теория разностных схем.— М. : Наука, 1977.— 656 с.
2. Самарский А. А., Николаев Е. С. Методы решения сеточных уравнений.— М. : Наука, 1978.— 592 с.
3. Саульев В. К. Интегрирование уравнений параболического типа методом сеток.— М. : Физматгиз, 1960.— 324 с.

Львовский университет

Поступила в редколлегию  
28.03.80

УДК 536.12 : 536.13

О. В. Побережный

### ЗАДАЧИ НЕСТАЦИОНАРНОЙ ТЕПЛОПРОВОДНОСТИ ДЛЯ ПОЛОСЫ И СЛОЯ С ТРЕЩИНАМИ

Рассмотрим нестационарные задачи теплопроводности для полосы и слоя с произвольно расположенными в них трещинами, на которых заданы температура, тепловые потоки или условия теплопроницаемости, в предположении, что на гранях полосы или слоя заданы однородные граничные условия.

1. Пусть полоса занимает область  $|x| < \infty$ ,  $|y| < \delta$ ,  $0 \leq z \leq h$ . Предполагаем, что между боковыми поверхностями полосы и окружающей средой происходит симметричный относительно срединной плоскости  $y = 0$  теплообмен по закону Ньютона. Пусть в такой полосе имеется  $N$  разрезов (трещин), проведенных вдоль гладких непересекающихся кривых  $L_i$  ( $i = \overline{1, N}$ ), не выходящих на грани полосы. Необходимо определить температурное поле, удовлетворяющее уравнению теплопроводности

$$\frac{\partial^2 T}{\partial x^2} + \frac{\partial^2 T}{\partial z^2} - \kappa^2 T - \frac{1}{c} \frac{\partial T}{\partial t} = -\kappa^2 T_c \quad (1)$$

при определенных начальных и граничных условиях на гранях полосы и линиях  $L_i$ .

Представим общее решение уравнения (1) в виде

$$T(x, z, t) = T_*(x, z, t) + T_0(x, z, t), \quad (2)$$

где  $T_*$  — решение однородного уравнения (1), удовлетворяющее начальному условию  $T_*(x, z, 0) = 0$  и одному из граничных условий на гранях полосы:

$$\begin{aligned} v = 1, \quad T_*(x, 0, t) = T_*(x, h, t) = 0, \\ v = 2, \quad \left. \frac{\partial T_*}{\partial z} \right|_{z=0} = 0, \quad \left. \frac{\partial T_*}{\partial z} \right|_{z=h} = 0, \\ v = 3, \quad \left. \frac{\partial T_*}{\partial z} \right|_{z=0} = 0, \quad T_*(x, h, t) = 0, \end{aligned} \quad (3)$$

и на  $i$ -м разрезе:

$$T_*^\pm(\sigma_0, t) = f_i^\pm(\sigma_0, t), \quad \frac{\partial T_*^\pm(\sigma_0, t)}{\partial n_i^0} = g_i^\pm(\sigma_0, t), \quad (4)$$

$$\begin{aligned} \frac{\partial T_*^+(\sigma_0, t)}{\partial n_i^0} = \frac{\partial T_*^-(\sigma_0, t)}{\partial n_i^0}, \quad \frac{\partial T_*^\pm(\sigma_0, t)}{\partial n_i^0} - \frac{h_i}{\lambda} [T_*^+(\sigma_0, t) - T_*^-(\sigma_0, t)] = \\ = g_i(\sigma_0, t). \end{aligned}$$

В соотношениях (1) — (4) введены следующие обозначения:  $\kappa^2 = \alpha/\delta\lambda$ ;  $\alpha$ ,  $\lambda$  — коэффициенты теплообмена и теплопроводности;  $2\delta$  — толщина пластинки;  $c$  — температуропроводность тела;  $t$  — время;  $T_c$  — температура окружающей среды;  $h_i$  — теплопроницаемость  $i$ -й трещины;  $\sigma$ ,  $\sigma_0$  — дуговые координаты точек  $N$  и  $M_0$  линии  $L_k$  в этих точках;  $T_0$  — решение уравнения (1) в пластинке без трещин, которое определяется известными методами [8];

$$f_i^\pm(\sigma_0, t) = T_i^\pm(\sigma_0, t) - T_0(\sigma_0, t);$$

$$g_i^\pm(\sigma_0, t) = \frac{1}{\lambda} q_i^\pm(\sigma_0, t) - \frac{\partial T_0(\sigma_0, T)}{\partial n_i^0};$$

$$g_i(\sigma_0, t) = - \frac{\partial T_0(\sigma_0, t)}{\partial n_i^0}.$$

Решение однородного уравнения (1), которое удовлетворяет начальному условию и граничным условиям (3), представим так:

$$T_*(x, z, t) = \Phi_\nu(x, z, t) + \Psi_\nu(x, z, t), \quad (5)$$

где

$$\Phi_\nu(x, z, t) = \frac{1}{4\pi} \sum_{i=1}^N \int_{L_i} \int_0^t \frac{\varphi_j(\sigma, \tau)}{t-\tau} R_\nu(r_{j,mk}, t-\tau) d\sigma d\tau; \quad (6)$$

$$\Psi_\nu(x, z, t) = \frac{1}{8\pi c} \sum_{i=1}^N \int_{L_i} \int_0^t \frac{\psi_j(\sigma, \tau)}{(t-\tau)^2} R_\nu^1(r_{j,mk}, t-\tau) d\sigma d\tau. \quad (7)$$

Индекс  $\nu$  принимает значения 1, 2, 3, что соответствует виду граничного условия (3);  $-\infty < k < \infty$ ;  $m = 1, 2$ ;  $R_\nu$  и  $R_\nu^1$  имеют вид

$$R_\nu(r_{j,mk}, t-\tau) = \sum_{k=-\infty}^{\infty} E_1(\nu, k) [R(r_{j,1k}, t-\tau) + E_2(\nu) R(r_{j,2k}, t-\tau)], \quad (8)$$

$$R_\nu^1(r_{j,mk}, t-\tau) = \sum_{k=-\infty}^{\infty} E_1(\nu, k) [R(r_{j,1k}, t-\tau) r_{j,1k} \cos(\widehat{r_{j,1k}}, n_j) + E_2(\nu) R(r_{j,2k}, t-\tau) r_{j,2k} \cos(\widehat{r_{j,2k}}, n_j)], \quad (9)$$

$$E_1(\nu, k) = (-1)^{(\nu-1)(\nu-2)} \frac{\nu}{6} k, \quad (10)$$

$$E_2(\nu) = (-1)^{(\nu-2)(\nu-3)} \frac{\nu}{2}, \quad (11)$$

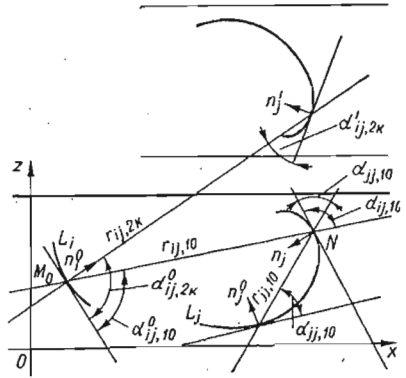
$$r_{j,1k}^2 = (x - \xi)^2 + (z - \zeta + 2kh)^2, \quad (12)$$

$$r_{j,2k}^2 = (x - \xi)^2 + (z + \zeta - 2kh)^2, \quad (13)$$

$$R(r_{j,mk}, t-\tau) = \exp \left[ - \frac{r_{j,mk}^2}{4c(t-\tau)} - \kappa^2 c(t-\tau) \right], \quad N(\xi, \zeta) \in L_j; \quad (14)$$

$M(x, z)$  — произвольная точка полосы;  $n_j$  — внутренняя нормаль в точке  $N(\xi, \zeta)$  линии  $L_j$ ;  $n_j'$  — зеркальное отображение нормали  $n_j$  относительно оси  $z = 0$  или  $z = h$ . Остальные обозначения показаны на рисунке.

Функции  $\Phi_\nu$  и  $\Psi_\nu$  являются решениями уравнения теплопроводности для полосы с теплообменом при граничных условиях (3) и действии на линиях  $L_j$  тепловых источников и диполей с плотностями  $\varphi_j$  и  $\psi_j$  соответственно.



Аналогично, как в работах [7, 9], можно показать, что предельные значения функций  $\Phi_v$ ,  $\Psi_v$  и их нормальных производных имеют вид

$$(\Phi_v)_i^\pm = \frac{1}{4\pi} \sum_{i=1}^N \int_{L_i} \int_0^t \frac{\varphi_j(\sigma, \tau)}{t-\tau} R_v(r_{ij, mk}, t-\tau) d\sigma d\tau, \quad (15)$$

$$(\Psi_v)_i^\pm = \pm \psi_j(\sigma_0, t) \delta_{ij} + \frac{1}{8\pi c} \sum_{i=1}^N \int_{L_i} \int_0^t \frac{\psi_j(\sigma, \tau)}{(t-\tau)^2} R_v^1(r_{ij, mk}, t-\tau) d\sigma d\tau, \quad (16)$$

$$\frac{\partial \Phi_v^\pm}{\partial n_i^0} = \mp \frac{1}{2} \varphi_j(\sigma_0, t) \delta_{ij} + \frac{1}{8\pi c} \sum_{i=1}^N \int_{L_i} \int_0^t \frac{\varphi_j(\sigma, \tau)}{(t-\tau)^2} R_v^2(r_{ij, mk}, t-\tau) d\sigma d\tau, \quad (17)$$

$$\begin{aligned} \frac{\partial \Psi_v^\pm}{\partial n_i^0} = Q(\sigma_0, t) = & - \frac{1}{8\pi c} \sum_{i=1}^N \int_0^t \psi_j(\sigma, \tau) I_v^1(r_{ij, mk}, t-\tau) \frac{d\tau}{(t-\tau)^2} \Big|_{a_j}^b + \\ & + \frac{1}{8\pi c} \sum_{i=1}^N \int_{L_i} \int_0^t \left[ \frac{\partial \psi_j}{\partial \sigma} I_v^1(r_{ij, mk}, t-\tau) - \psi_j(\sigma, \tau) I_v^2(r_{ij, mk}, t-\tau) \right] \frac{d\sigma d\tau}{(t-\tau)^2}, \quad (18) \end{aligned}$$

где обозначено:  $\delta_{ij}$  — символ Кронекера;

$$\begin{aligned} R_v^1(r_{ij, mk}, t-\tau) = & \sum_{k=-\infty}^{\infty} E_1(\nu, k) [R(r_{ij, 1k}, t-\tau) r_{ij, 1k} \sin \alpha_{ij, 1k} + \\ & + E_2(\nu) R(r_{ij, 2k}, t-\tau) r_{ij, 2k} \sin \alpha'_{ij, 2k}]; \quad (19) \end{aligned}$$

$$\begin{aligned} R_v^2(r_{ij, mk}, t-\tau) = & \sum_{k=-\infty}^{\infty} E_1(\nu, k) [R(r_{ij, 1k}, t-\tau) r_{ij, 1k} \sin \alpha_{ij, 1k}^0 + \\ & + E_2(\nu) R(r_{ij, 2k}, t-\tau) r_{ij, 2k} \sin \alpha_{ij, 2k}^0]; \quad (20) \end{aligned}$$

$$\begin{aligned} I_v^1(r_{ij, mk}, t-\tau) = & \sum_{k=-\infty}^{\infty} E_1(\nu, k) [R(r_{ij, 1k}, t-\tau) r_{ij, 1k} \cos \alpha_{ij, 1k}^0 + \\ & + E_2(\nu) R(r_{ij, 2k}, t-\tau) r_{ij, 2k} \cos \alpha_{ij, 2k}^0]; \quad (21) \end{aligned}$$

$$\begin{aligned} I_v^2(r_{ij, mk}, t-\tau) = & 2 \sum_{k=-\infty}^{\infty} E_1(\nu, k) \left[ \left( \frac{r_{ij, 1k}^2}{4c(t-\tau)} - 1 \right) \cos(\alpha_{ij, 1k} + \alpha_{ij, 1k}^0) \times \right. \\ & \left. \times R(r_{ij, 1k}, t-\tau) + E_2(\nu) \left( \frac{r_{ij, 2k}^2}{4c(t-\tau)} - 1 \right) \cos(\alpha_{ij, 2k} + \alpha_{ij, 2k}^0) R(r_{ij, 2k}, t-\tau) \right] \quad (22) \end{aligned}$$

(остальные обозначения см. на рисунке).

Подставляя выражения (15) — (18) в граничные условия (4), для определения  $\varphi_j(\sigma_0, t)$  и  $\psi_j(\sigma_0, t)$  получаем системы сингулярных интегральных уравнений

$$\begin{aligned} \frac{1}{2\pi} \sum_{i=1}^N \int_{L_i} \int_0^t \frac{\varphi_j(\sigma, \tau)}{t-\tau} R_v(r_{ij, mk}, t-\tau) d\tau d\sigma = & f_i^+(\sigma_0, t) + f_i^-(\sigma_0, t) - \\ & - \frac{1}{4\pi c} \sum_{i=1}^N \int_{L_i} \int_0^t \frac{\psi_j(\sigma, \tau)}{(t-\tau)^2} R_v^1(r_{ij, mk}, t-\tau) d\tau d\sigma, \quad \psi_j(\sigma_0, t) = \\ & = f_i^+(\sigma_0, t) - f_i^-(\sigma_0, t); \quad (23) \end{aligned}$$

$$2Q(\sigma_0, t) = \frac{1}{4\pi c} \sum_{i=1}^N \int_{L_i} \int_0^t \frac{\varphi_j(\sigma, \tau)}{(t-\tau)^2} R_v^2(r_{ij, mk}, t-\tau) d\tau d\sigma +$$

$$+ g_i^+(\sigma_0, t) + g_i^-(\sigma_0, t), \quad \varphi_i(\sigma_0, t) = g_i^-(\sigma_0, t) - g_i^+(\sigma_0, t); \quad (24)$$

$$Q(\sigma_0, t) - \frac{h_i}{\lambda} \psi_i(\sigma_0, t) = g_i(\sigma_0, t), \quad \varphi_i(\sigma_0, t) = 0. \quad (25)$$

2. Рассмотрим слой, занимающий область  $|x| < \infty, |y| < \infty, 0 \leq z \leq h$  и содержащий  $N$  не выходящих на границы области поверхностных разрезов  $S_i$  ( $i = \overline{1, N}$ ). Предполагаем, что поверхности  $S_i$  являются поверхностями Ляпунова. В дальнейшем все обозначения примем такими, как в п. 1. При этом все величины следует рассматривать как функции пространственных координат  $x, y, z$ , а вместо  $L_i$  подразумевать области  $S_i$ .

Аналогично, как и в плоской задаче, представляя температурное поле в виде (2), приходим к определению функции  $T_*(x, y, z, t)$ , удовлетворяющей уравнению теплопроводности

$$\frac{\partial^2 T_*}{\partial x^2} + \frac{\partial^2 T_*}{\partial y^2} + \frac{\partial^2 T_*}{\partial z^2} - \frac{1}{c} \frac{\partial T_*}{\partial t} = 0, \quad (26)$$

начальному условию  $T_*(x, y, z, 0) = 0$ , одному из граничных условий на гранях слоя (3) и на  $i$ -м разрезе (4). В общем случае функция  $T_*(x, y, z, t)$  и ее нормальная производная должны быть разрывными при переходе из  $S_i^+$  на  $S_i^-$ . Поэтому представим  $T_*(x, y, z, t)$  в виде

$$T_*(x, y, z, t) = W_v(x, y, z, t) + \Omega_v(x, y, z, t), \quad (27)$$

где

$$W_v(x, y, z, t) = \frac{1}{8\pi \sqrt{\pi c}} \sum_{i=1}^N \int_{S_i} \int_0^t \frac{\omega_j(s, \tau)}{(t-\tau)^{3/2}} R_v(r_{ij, mk}, t-\tau) d\tau ds; \quad (28)$$

$$\Omega_v(x, y, z, t) = \frac{1}{8\pi \sqrt{\pi c}} \sum_{i=1}^N \int_{S_i} \int_0^t \frac{\omega_j(s, \tau)}{(t-\tau)^{3/2}} R_v^1(r_{ij, mk}, t-\tau) d\tau ds, \quad (29)$$

причем предельные значения функций  $W_v, \Omega_v$  и их нормальных производных равны:

$$(W_v)_i^\pm = \frac{1}{8\pi \sqrt{\pi c}} \sum_{i=1}^N \int_{S_i} \int_0^t \frac{\omega_j(s, \tau)}{(t-\tau)^{3/2}} R_v(r_{ij, mk}, t-\tau) d\tau ds; \quad (30)$$

$$(\Omega_v)_i^\pm = \pm \frac{1}{2} \omega_j(s_0, t) \delta_{ij} + \frac{1}{8\pi \sqrt{\pi c}} \sum_{i=1}^N \int_{S_i} \int_0^t \frac{\omega_j(s, \tau)}{(t-\tau)^{3/2}} R_v^1(r_{ij, mk}, t-\tau) d\tau ds, \quad (31)$$

$$\frac{\partial W_v^\pm}{\partial n_i^0} = \mp \frac{1}{2} \omega_j(s_0, t) \delta_{ij} + \frac{1}{8\pi \sqrt{\pi c}} \sum_{i=1}^N \int_{S_i} \int_0^t \frac{\omega_j(s, \tau)}{(t-\tau)^{3/2}} R_v^2(r_{ij, mk}, t-\tau) d\tau ds, \quad (32)$$

$$\frac{\partial \Omega_v^\pm}{\partial n_i^0} = Q(s_0, t) = \frac{1}{8\pi \sqrt{\pi c}} \sum_{i=1}^N \int_{S_i} \int_0^t \frac{\omega_j(s, \tau)}{(t-\tau)^{3/2}} I_v(r_{ij, mk}, t-\tau) d\tau ds. \quad (33)$$

В соотношениях (28) — (33) введены следующие обозначения:

$$R_v(r_{j,mk}, t - \tau) = \sum_{k=-\infty}^{\infty} E_1(v, k) [R(r_{j,1k}, t - \tau) + E_2(v) R(r_{j,2k}, t - \tau)];$$

$$R_v^1(r_{j,mk}, t - \tau) = \sum_{k=-\infty}^{\infty} E_1(v, k) \left[ \frac{\partial R(r_{j,1k}, t - \tau)}{\partial n_i} + E_2(v) \frac{\partial R(r_{j,2k}, t - \tau)}{\partial n_i'} \right];$$

$$R_v^2(r_{i,mk}, t - \tau) = \frac{\partial R_v(r_{i,j,mk}, t - \tau)}{\partial n_i^0}; \quad I_v(r_{i,mk}, t - \tau) = \frac{\partial R_v^1(r_{i,j,mk}, t - \tau)}{\partial n_i^0};$$

$$R(r_{j,mk}, t - \tau) = \exp\left(-\frac{r_{j,mk}^2}{4c(t - \tau)}\right); \quad r_{j,1k}^2 = (x - \xi)^2 + (y - \eta)^2 + (z - \zeta + 2kh)^2; \quad r_{j,2k}^2 = (x - \xi)^2 + (y - \eta)^2 + (z + \zeta - 2kh)^2;$$

$n_j$  — нормаль в произвольной точке  $N$  поверхности  $S_j$ ;  $n_i^0$  — зеркальное отображение нормали  $n_j$  относительно плоскости  $z = 0$  или  $z = h$ .

Учитывая представление (27), из граничных условий получаем для определения неизвестных плотностей  $\omega_j(s_0, t)$  и  $\omega_j(s_0, t)$  системы сингулярных интегральных уравнений

$$\begin{aligned} \frac{1}{4\pi\sqrt{\pi c}} \sum_{i=1}^N \int_{S_i} \int_0^t \frac{\omega_j(s, \tau)}{(t - \tau)^{3/2}} R_v(r_{i,j,mk}, t - \tau) d\tau ds = f_i^+(s_0, t) + f_i^-(s_0, t) - \\ - \frac{1}{4\pi\sqrt{\pi c}} \sum_{i=1}^N \int_{S_i} \int_0^t \frac{\omega_j(s, \tau)}{(t - \tau)^{3/2}} R_v^1(r_{i,j,mk}, t - \tau) d\tau ds, \quad \omega_i(s_0, t) = f_i^+(s_0, t) - \\ - f_i^-(s_0, t); \end{aligned} \quad (34)$$

$$\begin{aligned} 2Q = \frac{1}{4\pi\sqrt{\pi c}} \sum_{i=1}^N \int_{S_i} \int_0^t \frac{\omega_j(s, \tau)}{(t - \tau)^{3/2}} R_v^2(r_{i,j,mk}, t - \tau) d\tau ds + g_i^+(s_0, t) + g_i^-(s_0, t), \\ \omega_i(s_0, t) = g_i^-(s_0, t) - g_i^+(s_0, t); \end{aligned} \quad (35)$$

$$Q(s_0, t) - \frac{h_i}{\lambda} \omega_i(s_0, t) = g_i(s_0, t), \quad \omega_i(s_0, t) = 0. \quad (36)$$

Функции  $\Phi_v$ ,  $\Psi_v$  и соответственно  $W_v$ ,  $\Omega_v$  будем называть потенциалами простого и двойного слоев в рассматриваемых областях (полосе, слое).

Решение полученных систем интегральных уравнений как в плоском, так и в пространственном случаях можно получить методом последовательных приближений. Кроме того, поскольку ядра систем интегральных уравнений зависят от разности  $t - \tau$ , то для нахождения их решений можно применять метод операционного исчисления.

Рассмотрим примеры.

1. Полоса с прямолинейной трещиной, размещенной на оси  $oz$ . На гранях полосы заданы граничные условия (3). Имеем два случая:

а) пусть на берегах разреза  $a \leq z \leq b$  ( $0 < a, b < h$ ) заданы равные по величине и противоположные по знаку температуры  $T_0$ . Тогда, полагая в системе уравнений (23)  $N = 1$ ,  $f_1^+ = T_0$ ,  $f_1^- = -T_0$ ,  $\alpha_{11,1k} = \alpha_{11,2k} = 0$ , находим  $\varphi_1(z, t) = 0$ ,  $\psi_1(z, t) = 2T_0$ ;

б) если на берегах разреза  $a \leq z \leq b$  заданы равные по величине и противоположные по знаку тепловые потоки  $q_0$ , то, полагая в (24)  $g_1^+ = -q_0$ ,  $g_1^- = q_0$ ,  $\alpha_{ij,1k}^0 = \alpha_{ij,2k}^0 = 0$ ,  $N = 1$ , получаем  $\varphi_1(z, t) = 2q_0$ ,  $\psi_1(z, t) = 0$ .

По известным плотностям  $\varphi_1$  и  $\psi_1$  температурные поля определяются формулой (5).

2. Слой с плоской трещиной, которая занимает область  $S_1: x = 0, |y| < \infty, a \leq z \leq b$ . На гранях слоя выполняются условия (3). Имеем два случая:

а) если берега трещины подвергаются воздействию равных по величине, но противоположных по знаку температур  $T_0$ , то из (34) найдем  $w(0, y, z, t) = 0, \omega(0, y, z, t) = 2T_0$ ;

б) в случае загрузки берегов трещины тепловыми потоками  $g_1^+ = -q_0, g_1^- = q_0$  решение уравнения (35) при  $N = 1$  имеет вид  $w(0, y, z, t) = 2q_0, \omega(0, y, z, t) = 0$ .

Температурные поля по известным плотностям  $w$  и  $\omega$  находим по формуле (27).

Предложенный метод построения потенциалов и вывод интегральных уравнений нестационарных задач теплопроводности для полосы и слоя с разрезами может быть применен при построении потенциалов и интегральных уравнений в более сложных областях, для которых можно построить фундаментальные решения. Некоторые из таких фундаментальных решений в настоящее время известны [1, 2, 6] или легко находятся для тел, имеющих форму параллелограмма, параллелепипеда, клина.

Как частные случаи из приведенных результатов получаем выражения потенциалов и интегральных уравнений нестационарной теплопроводности для полубесконечных (полуплоскости  $0 \leq z < \infty, |x| < \infty$ ; полупространства  $0 \leq z < \infty, |x| < \infty, |y| < \infty$ ) и бесконечных тел [5], потенциалы и интегральные уравнения стационарной теплопроводности для полосы, слоя, полуплоскости, полупространства, плоскости [3], пространства [4].

1. Боли Б., Уэйнер Дж. Теория температурных напряжений.— М.: Мир, 1964.— 517 с.
2. Карслоу Г., Егер Д. Теплопроводность твердых тел.— М.: Наука, 1964.— 487 с.
3. Кит Г. С., Побережный О. В. Расчет температурного поля в пластине с трещинами при наличии теплообмена.— В кн.: Качество, прочность, надежность и технологичность электровакuumных приборов.— Киев: Наук. думка, 1976, с. 153.
4. Кит Г. С., Побережный О. В. Термоупругое состояние бесконечного тела с теплопроводящей круговой трещиной.— Тепловые напряжения в элементах конструкций, 1970, вып. 9, с. 78—88.
5. Кит Г. С., Побережный О. В. Интегральные уравнения нестационарной теплопроводности для тел с трещинами.— Мат. методы и физ.-мех. поля, 1980, вып. 12, с. 58—63.
6. Новацкий В. Вопросы термоупругости.— М.: Изд-во АН СССР, 1962.— 363 с.
7. Побережный О. В., Кит Г. С. Об определении температурного поля в пластине с шайбой при неидеальном тепловом контакте между ними.— Инж.-физ. журн., 1968, 15, № 4, с. 703—709.
8. Подстригач Я. С., Коляно Ю. М. Неустановившиеся температурные поля и напряжения в тонких пластинках.— Киев: Наук. думка, 1972.— 308 с.
9. Положий Г. Н. Уравнения математической физики.— М.: Высш. школа, 1964.— 559 с.

Институт прикладных проблем  
механики и математики АН УССР

Поступила в редколлегию  
14.07.80

УДК 533.6.013.42

В. В. Пороховский

#### РАССЕЯНИЕ ОГРАНИЧЕННОГО ЗВУКОВОГО ПУЧКА УПРУГОЙ ТОНКОЙ СФЕРИЧЕСКОЙ ОБОЛОЧКОЙ В ВОДЕ

Анализ эхо-сигнала, вызванного падением на упругую сферическую оболочку сферического или плоского звукового импульса, подробно изложен в работах [2, 3, 11]. Влияние направленности зондирующего импульса на переизлученные сигналы учтено в работах [1, 4—8, 10]. В данной работе исследуется задача эхо-сигнала, вызванного звуковым импульсом, распространяющимся в виде узкого конического пучка и освещающего лишь часть повер-